



电磁场与电磁波

第 5 章

导体与电介质 Conductors and Dielectrics



5.1	电流与电流密度
5.2	电流的连续性
5.3	金属导体
5.4	导体性质和边界条件
5.5	镜像法
5.6	半导体
5.7	电介质材料的性质
5.8	理想电介质的边界条件

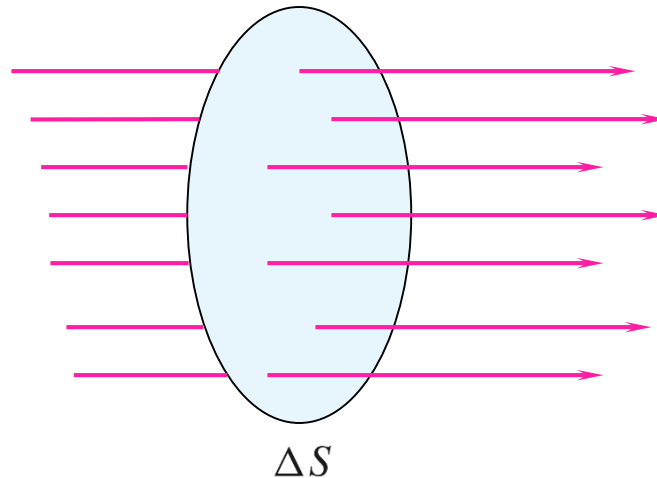


5.1 电流与电流密度 CURRENT AND CURRENT DENSITY

电流定义为单位时间通过给定参考点的电荷量： $I = \frac{dQ}{dt}$

通常更关注单位面积通过的电流，称为电流密度 \mathbf{J} ，单位为安培/平方米（ A/m^2 ）。 \mathbf{J} 为矢量，在电流方向与选取的面垂直时，若 \mathbf{J} 的值为 J_N ，垂直的面积元为 ΔS ，则通过的电流为：

$$\Delta I = J_N \Delta S$$





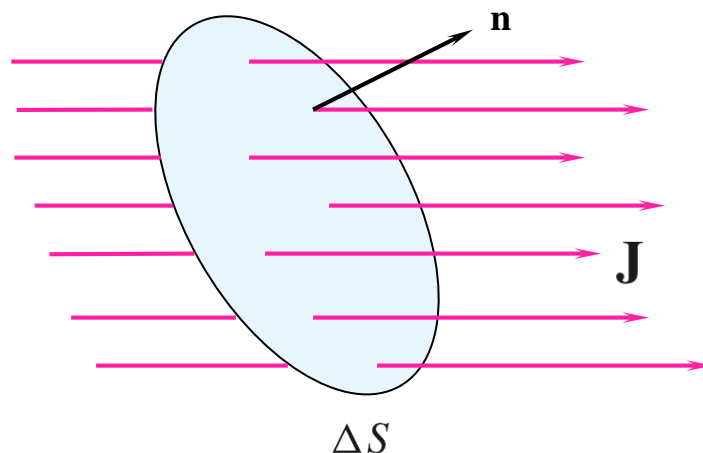
5.1 电流与电流密度 - 电流密度为矢量场

在现实中，电流的方向不一定与选取的面垂直，因此可用电流密度与面积元矢量点乘来计算电流：

$$\Delta I = \mathbf{J} \cdot \Delta \mathbf{S} \quad \text{式中 } \Delta \mathbf{S} = \mathbf{n} da \quad da \text{ 为这个面上的面积微分元}$$

因此，通过一个较大的表面的电流可由积分得到：

$$I = \int_S \mathbf{J} \cdot d\mathbf{S}$$





5.1 电流与电流密度 - 电流与电荷运动速度的关系

考虑有体电荷 ΔQ , 它所占据的空间为 Δv , 从正 x 轴方向以 v_x 的速度移动

根据体电荷的密度, 带电量为:

$$\Delta Q = \rho_v \Delta v = \rho_v \Delta S \Delta L$$

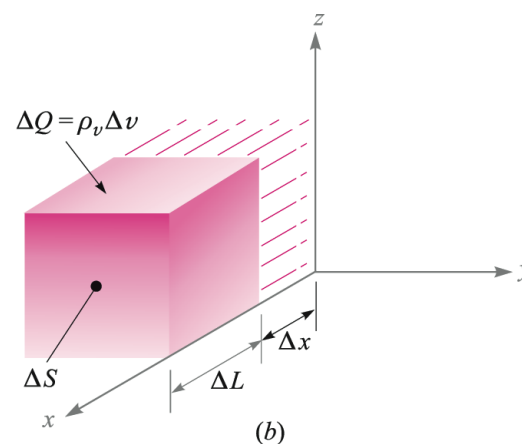
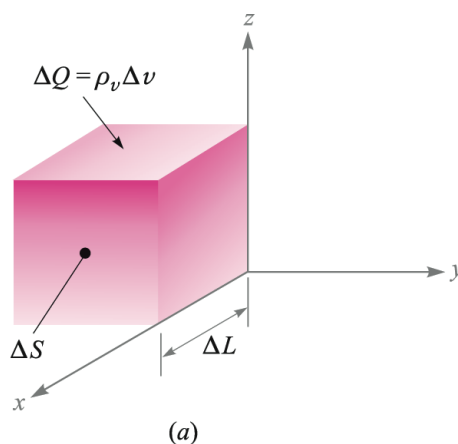
在 Δt 的时间里, 电荷移动了 $\Delta x = \Delta L = v_x \Delta t$ 的距离, 可得移动的电荷量为:

$$\Delta Q = \rho_v \Delta S \Delta x$$

该电荷的移动形成的电流为:

$$\Delta I = \frac{\Delta Q}{\Delta t} = \rho_v \Delta S \frac{\Delta x}{\Delta t}$$

即: $\Delta I = \rho_v \Delta S v_x$





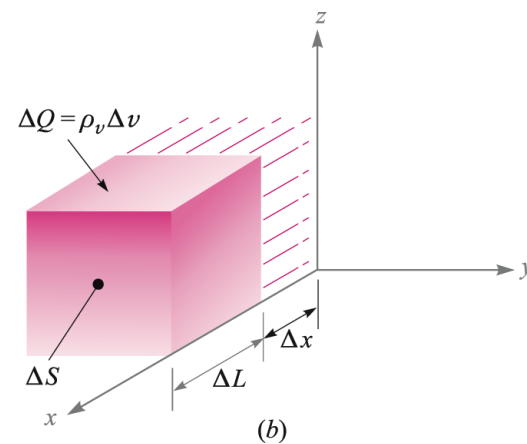
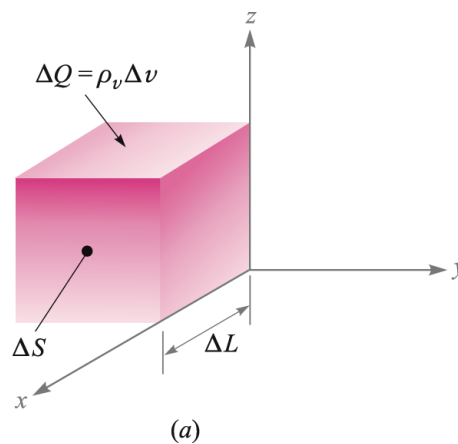
5.1 电流与电流密度 - 电流密度与电荷运动速度的关系

(接上页) 已求得电流为: $\Delta I = \rho_v \Delta S v_x$

电流密度为:
$$J_x = \frac{\Delta I}{\Delta S} = \rho_v v_x$$

电流密度更一般的形式:

$$\mathbf{J} = \rho_v \mathbf{v}$$





5.2 电流连续性 CONTINUITY OF CURRENT

电流密度与电荷密度的关系

假设电荷 Q_i 从闭合面所包围的空间中逃逸出来，形成的电流密度为 \mathbf{J} ，那么总的电流为：

$$I = \oint_S \mathbf{J} \cdot d\mathbf{S} = -\frac{dQ_i}{dt} = -\frac{d}{dt} \int_{\text{vol}} \rho_v dv$$

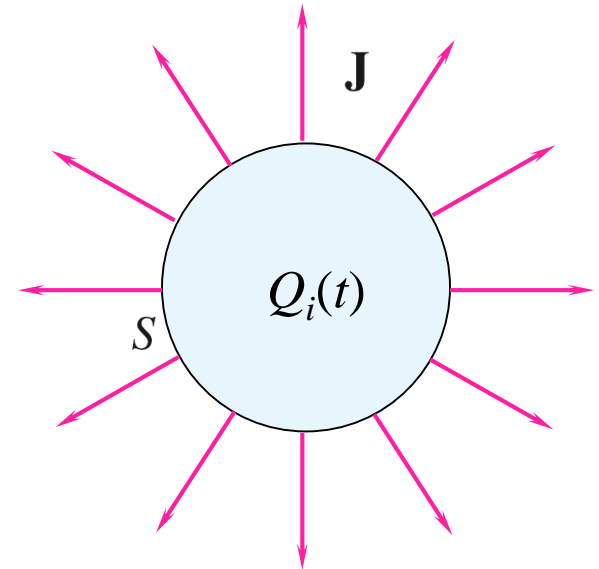
从闭合面 S 的角度看，电荷量在减少，故电流为负

对上式应用散度定理将面积分变换为体积分：

$$\oint_S \mathbf{J} \cdot d\mathbf{S} = \int_{\text{vol}} (\nabla \cdot \mathbf{J}) dv$$

因此：
$$\int_{\text{vol}} (\nabla \cdot \mathbf{J}) dv = -\frac{d}{dt} \int_{\text{vol}} \rho_v dv$$

或：
$$\int_{\text{vol}} (\nabla \cdot \mathbf{J}) dv = \int_{\text{vol}} -\frac{\partial \rho_v}{\partial t} dv$$

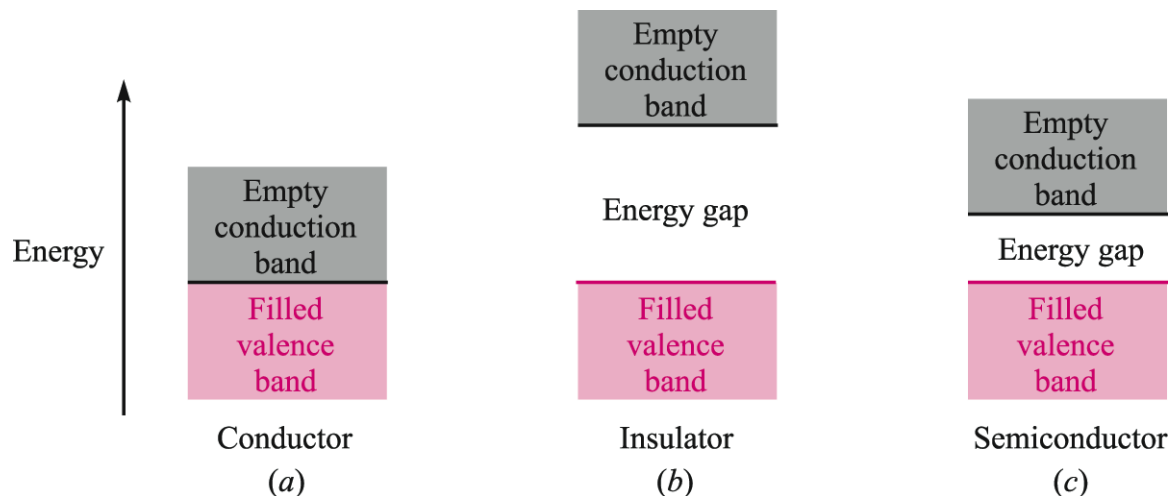


积分内的式子必定相等，从而得到了电流连续性方程：

$$(\nabla \cdot \mathbf{J}) = -\frac{\partial \rho_v}{\partial t}$$



5.3 金属导体 METALLIC CONDUCTORS



导体、绝缘体与半导体的能带

- a) 在导体（Conductor）中，价带（Valence Band）和导带（Conduction Band）之间没有能隙，因此电子可以自由移动
- b) 在绝缘体（Insulator）中，价带和导带间有很大的能隙，需要大量的能量才能将电子提升到导带的能级，此时电介质被击穿
- c) 半导体（Semiconductor）的价带和导带之间只有一个较小的能隙，因此施加少量的能量（热能、光能、电场等）就能够将价带外层电子提升到导带的能级



5.3 金属导体 – 电子流、电导率、欧姆定律点形式

自由电子在电场的作用下移动，作用在电荷量为 $Q = -e$ 的电子上的力为：

$$\mathbf{F} = -e\mathbf{E}$$

在电场力的作用下，电子获得一个恒定的平均速度，称为漂移速度：

$$\mathbf{v}_d = -\mu_e \mathbf{E}$$

式中 μ_e 是电子的漂移率，单位为 $\text{m}^2/\text{V}\cdot\text{s}$ ，漂移率与导体的材质有关。

漂移率与电流密度的关系为：

$$\mathbf{J} = \rho_v \mathbf{v}_d = -\rho_e \mu_e \mathbf{E} = \sigma \mathbf{E}$$

$$\mathbf{J} = \sigma \mathbf{E}$$

上式称为欧姆定律的点形式

ρ_e 为自由电子电荷密度。两个常数项乘积称为电导率：

$$\sigma = -\rho_e \mu_e \quad \text{S/m (西门子/米)}$$

在室温下，金属导体的电导率为常数：

铁 1.03×10^7 ，铝 3.82×10^7 ，金 4.10×10^7 ，铜 5.80×10^7 ，银 6.17×10^7



5.3 金属导体 – 电阻

考虑如下图中的圆柱形导体，其两端的电压为 V ，电流均匀地流过导体的横截面（面积为 S ）

依据电位和电流的定义，可得到如下方程式：

$$V_{ab} = -\int_b^a \mathbf{E} \cdot d\mathbf{L} = -\mathbf{E} \cdot \int_b^a d\mathbf{L} = -\mathbf{E} \cdot \mathbf{L}_{ba} = \mathbf{E} \cdot \mathbf{L}_{ab} \Rightarrow V = EL$$

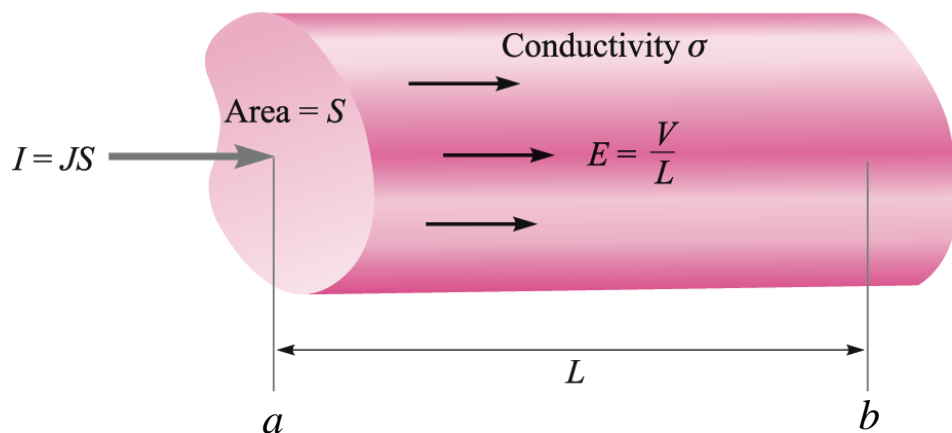
$$I = \int_S \mathbf{J} \cdot d\mathbf{S} = JS \Rightarrow J = \frac{I}{S} = \sigma E = \sigma \frac{V}{L} \Rightarrow \underline{V = \frac{L}{\sigma S} I}$$

根据欧姆定律的常规形式：

$$V = IR$$

可得到该圆柱形导体的电阻为：

$$R = \frac{L}{\sigma S}$$

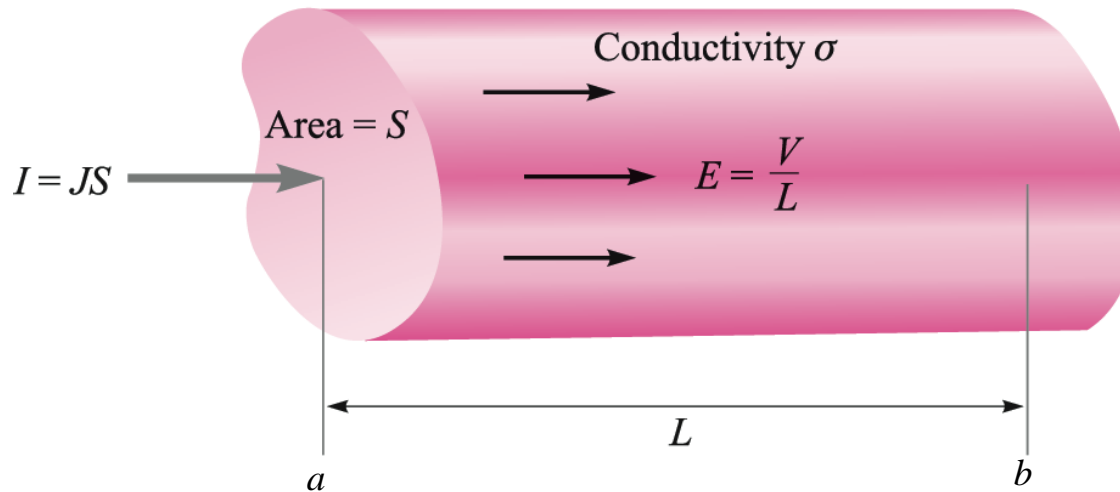




5.3 金属导体 – 电阻的一般形式

$$R = \frac{V_{ab}}{I} = \frac{-\int_b^a \mathbf{E} \cdot d\mathbf{L}}{\int_S \sigma \mathbf{E} \cdot d\mathbf{S}}$$

对于非均匀电场也成立





例5.1 计算1英里长，直径为0.0508英寸的16 AWG 铜导线的电阻值

解：导线的直径为： $0.0508 \times 0.0254 = 1.291 \times 10^{-3} \text{ m}$

导线的横截面面积为： $\pi(1.291 \times 10^{-3}/2)^2 = 1.308 \times 10^{-6} \text{ m}^2$

导线长度为： $1 \text{ 英里} = 1609 \text{ 米}$

铜的电导率为： $5.80 \times 10^7 \text{ S/m}$

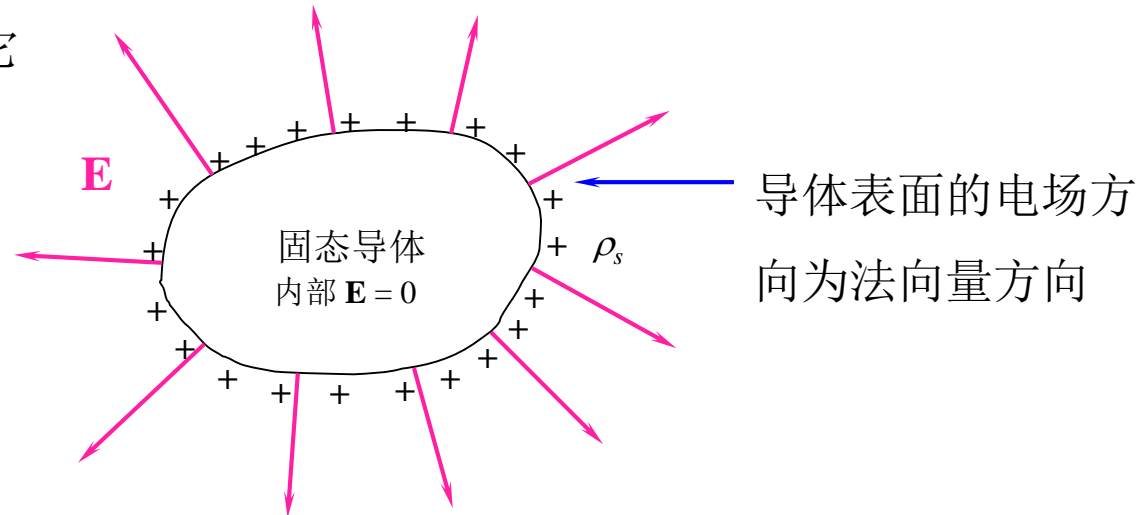
铜导线的电阻为：
$$R = \frac{1609}{(5.80 \times 10^7)(1.308 \times 10^{-6})} = 21.2 \text{ } \Omega$$



5.4 导体性质和边界条件 – 导体的静电学特性

CONDUCTOR PROPERTIES AND BOUNDARY CONDITIONS

考虑以下导体，让它
带上一定的电荷量



1. 电荷只存在于导体的表面，电荷密度为 ρ_s
2. 在导体内部不存在电荷和电场，且电场在表面切向的分量为0
3. 从第2条可推出导体的表面是一个等位面



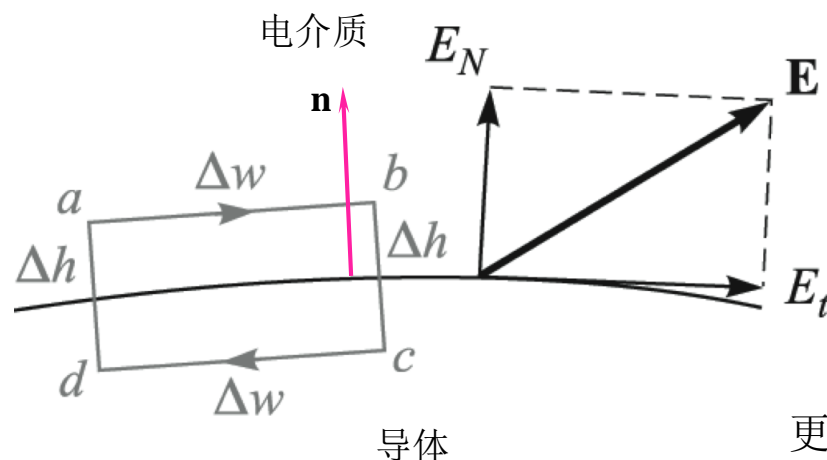
5.4 导体性质和边界条件 – 切向电场

在矩形积分路径中，计算电位： $\oint \mathbf{E} \cdot d\mathbf{L} = 0$ 或 $\int_a^b + \int_b^c + \int_c^d + \int_d^a = 0$

由于内部电场为0，得到：

$$E_t \Delta w - E_{N,atb} \frac{1}{2} \Delta h + E_{N,at a} \frac{1}{2} \Delta h = 0$$

让 Δh 趋近于0，保持 Δw 很小但为有限值时，这部分可忽略



从而有：

$$E_t = 0$$

更一般的形式为：

$$\mathbf{E} \times \mathbf{n}|_s = 0$$

表明导体表面的电场方向为法向量方向



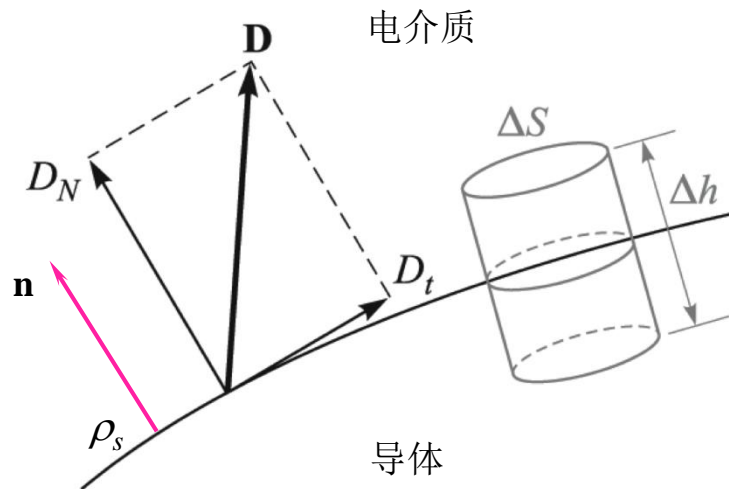
5.4 导体性质和边界条件 – 法向电通量

现选取一个小的圆柱体的表面作为高斯面，依据高斯定律：

$$\oint_S \mathbf{D} \cdot d\mathbf{S} = \int_{\text{top}} + \cancel{\int_{\text{bottom}}} + \cancel{\int_{\text{sides}}} = Q$$

内部无电场 Δh 趋向于0

上式可化简为： $D_N \Delta S = Q = \rho_S \Delta S$



从而可得：

$$D_N = \rho_S$$

更一般的形式为：

$$\mathbf{D} \cdot \mathbf{n}|_s = \rho_s$$



5.4 导体性质和边界条件

1. 在导体内部，静电场的电场强度为零
2. 导体表面上的电场强度处处都垂直于导体表面
3. 导体表面是一个等位面

$$\mathbf{E} \times \mathbf{n}|_s = 0 \quad \text{切向的电场 } \mathbf{E} \text{ 为0}$$

用矢量表示：

$$\mathbf{D} \cdot \mathbf{n}|_s = \rho_s \quad \text{法向的电通量密度 } \mathbf{D} \text{ 等于表面的电荷密度}$$



例5.2 给定电位 $V=100(x^2-y^2)$ ，且假设点 $P(2,-1,3)$ 位于导体与自由空间的分界面上，求在 P 点的 V 、 \mathbf{D} 、 \mathbf{E} 和 ρ_s ，以及导体表面的方程

解： P 点的电位为： $V_P = 100[2^2 - (-1)^2] = 300 \text{ V}$

由于导体表面为等位面，因此整个表面电位为300V，而导体内部 $\mathbf{E} = 0$

电位为300V的等位面方程为： $300 = 100(x^2 - y^2)$

$$\text{即： } x^2 - y^2 = 3$$

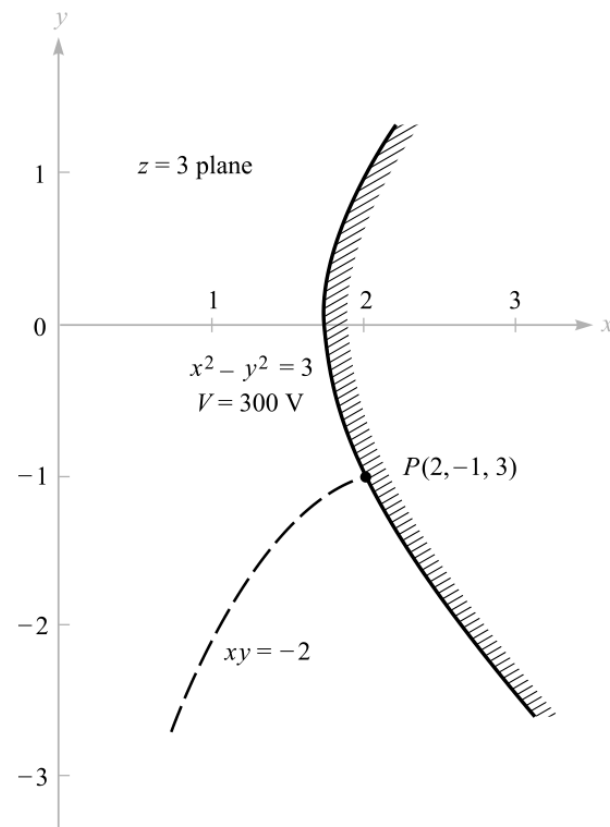
利用梯度计算电场强度 \mathbf{E} ：

$$\mathbf{E} = -100\nabla(x^2 - y^2) = -200x\mathbf{a}_x + 200y\mathbf{a}_y$$

P 点的电场强度为： $\mathbf{E}_P = -400\mathbf{a}_x - 200\mathbf{a}_y \text{ V/m}$

由于 $\mathbf{D}=\epsilon_0\mathbf{E}$ ，因此 P 点的电通量密度为：

$$\mathbf{D}_P = 8.854 \times 10^{-12} \mathbf{E}_P = -3.54\mathbf{a}_x - 1.771\mathbf{a}_y \text{ nC/m}^2$$





例5.2 给定电位 $V=100(x^2-y^2)$ ，且假设点 $P(2,-1,3)$ 位于导体与自由空间的分界面上，求在 P 点的 V 、 \mathbf{D} 、 \mathbf{E} 和 ρ_s ，以及导体表面的方程

已求得 P 点电通量密度为：

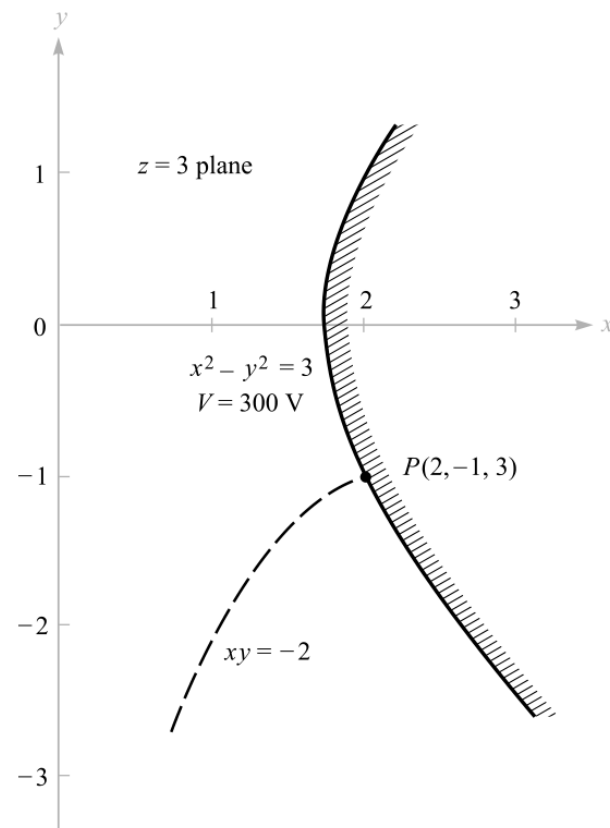
$$\mathbf{D}_P = 8.854 \times 10^{-12} \mathbf{E}_P = -3.54\mathbf{a}_x - 1.771\mathbf{a}_y \text{ nC/m}^2$$

在 P 点处，电场方向指向左下方，且垂直于等位面，因此：

$$D_N = |\mathbf{D}_P| = 3.96 \text{ nC/m}^2$$

P 点的面电荷密度为：

$$\rho_{S,P} = D_N = 3.96 \text{ nC/m}^2$$





例5.3 计算上一题中经过P点的电力线方程

解：根据电力线方程的定义得：

$$\frac{E_y}{E_x} = \frac{200y}{-200x} = -\frac{y}{x} = \frac{dy}{dx}$$

可得解微分方程：

$$\frac{dy}{y} + \frac{dx}{x} = 0$$

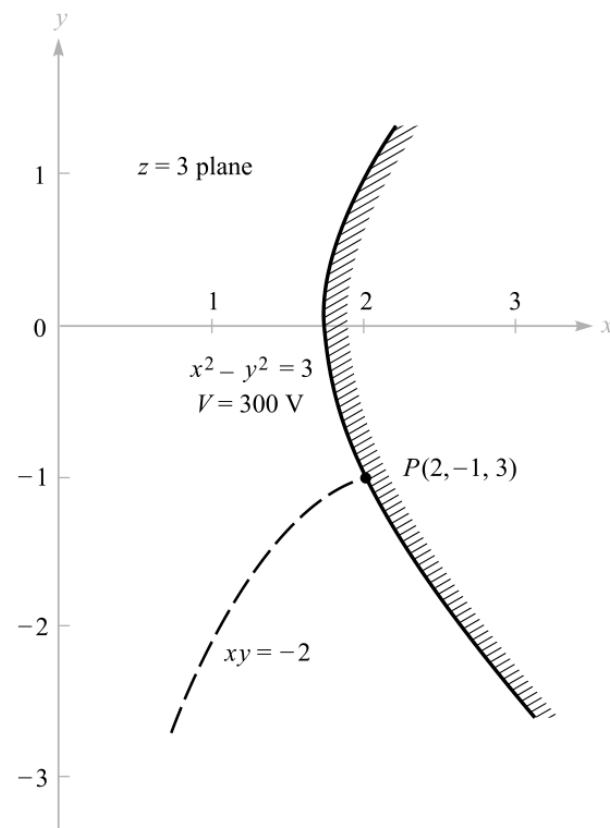
解微分方程得：

$$\ln y + \ln x = C_1$$

$$xy = C_2$$

由于P点坐标(2, -1, 3)，取 $C_2 = 2 \times (-1) = -2$ 。因此通过该点的电力线方程为：

$$xy = -2$$





习题 5.1 - 5.4

5.2, 5.4, 5.6, 5.8, 5.10



5.5 镜像法 THE METHOD OF IMAGES

若给定电荷和相关的边界条件，那么它们只能产生一种固定的电场

在电偶极子产生的电场中，处于两个点电荷中间的平面电位 $V = 0$

若用在相同位置放置一个接地的导电平面代替，那么两者在上半平面内的电场是完全相同的（但下半个平面是不同的）

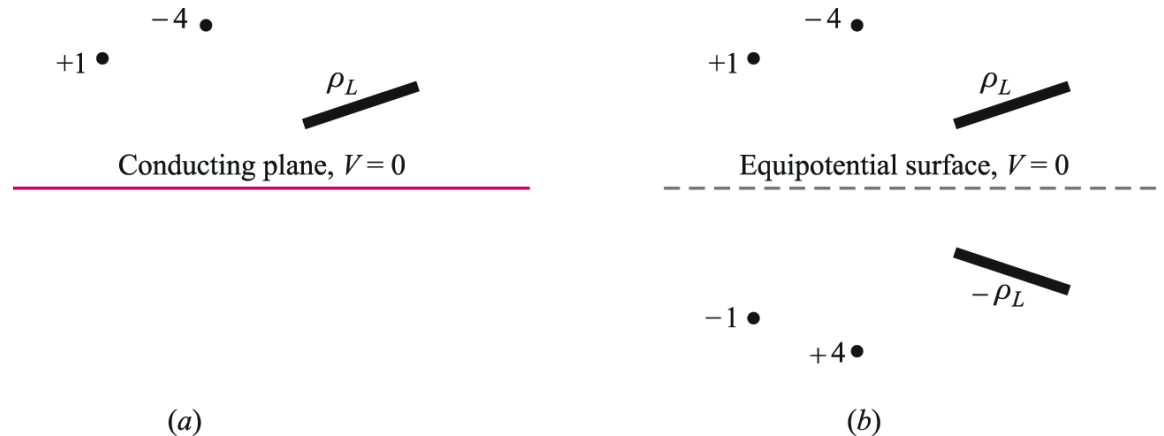


反之，若将导电平面移走，并同时平面下方对称位置放置一个负点电荷，那么平面上方仍可以维持相同的电场。这个负电荷称为原电荷的镜像，它与原电荷大小相等而符号相反。



5.5 镜像法 - 原理

给定边界条件的每个电荷都可以找出它的镜像



(a) 无限大导电平面上方的给定电荷结构

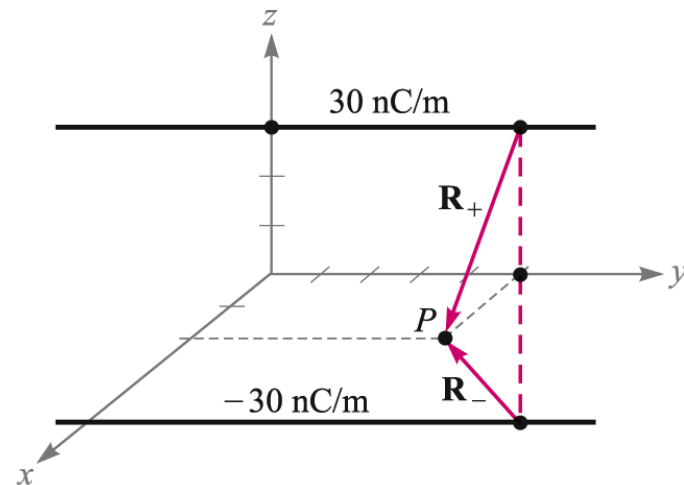
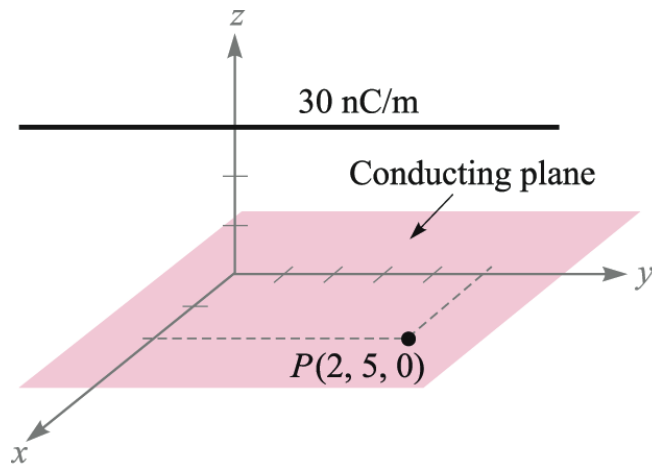
(b) 给定电荷结构加上镜像结构，无导电平面



5.5 镜像法 – 应用：计算面电荷密度

已知在 $x = 0, z = 3$ 的直线上分布有 30nC/m 的线电荷，求导电平面 $z = 0$ 上点 $P(2, 5, 0)$ 的面电荷密度。

利用镜像法，首先将导电平面替换为 $x = 0, z = -3$ 处一条分布有 -30nC/m 的镜像线电荷：





5.5 镜像法 – 应用：计算面电荷密度

从正、负线电荷到P点的径向矢量分别为：

$$\mathbf{R}_+ = 2\mathbf{a}_x - 3\mathbf{a}_z \quad \mathbf{R}_- = 2\mathbf{a}_x + 3\mathbf{a}_z$$

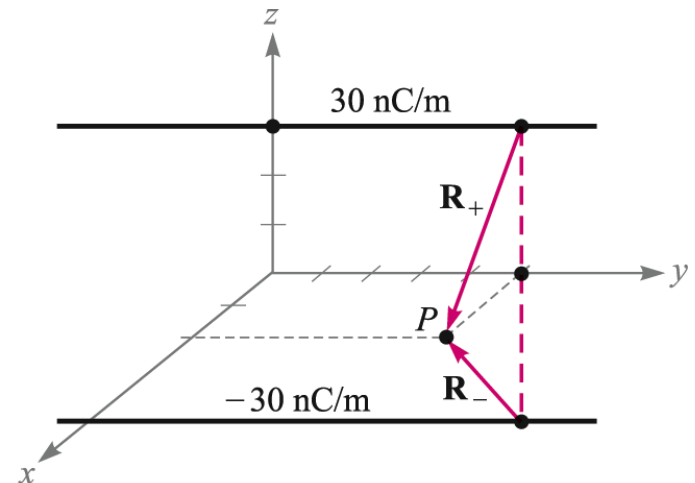
因此，这两条线电荷的电场强度分别是：

$$\mathbf{E}_+ = \frac{\rho_L}{2\pi\epsilon_0 R_+} \mathbf{a}_{R_+} = \frac{30 \times 10^{-9}}{2\pi\epsilon_0 \sqrt{13}} \frac{2\mathbf{a}_x - 3\mathbf{a}_z}{\sqrt{13}}$$

$$\mathbf{E}_- = \frac{30 \times 10^{-9}}{2\pi\epsilon_0 \sqrt{13}} \frac{2\mathbf{a}_x + 3\mathbf{a}_z}{\sqrt{13}}$$

将两个电场强度相加得到：

$$\mathbf{E} = \frac{-180 \times 10^{-9} \mathbf{a}_z}{2\pi\epsilon_0 (13)} = -249 \mathbf{a}_z \text{ V/m}$$





5.5 镜像法

已求得 P 点的电场强度为：

$$\mathbf{E} = \frac{-180 \times 10^{-9} \mathbf{a}_z}{2\pi\epsilon_0(13)} = -249 \mathbf{a}_z \text{ V/m}$$

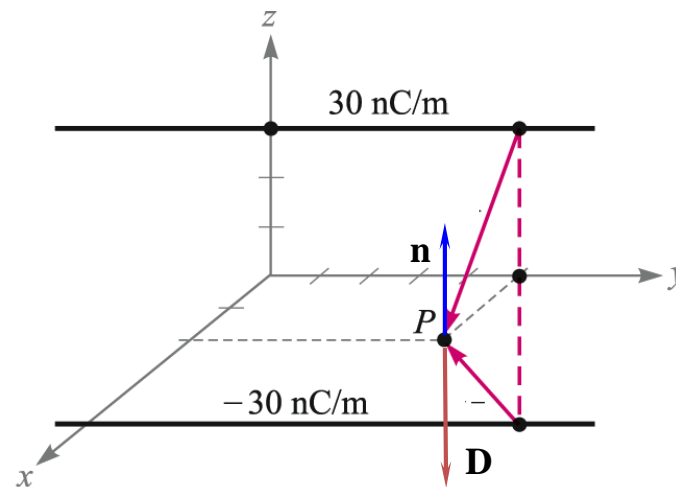
由电场和电通量密度的关系可得： $\mathbf{D} = \epsilon_0 \mathbf{E} = -2.20 \mathbf{a}_z \text{ nC/m}^2$

由于电通量密度和面电荷密度的关系为： $\mathbf{D} \cdot \mathbf{n} \big|_S = \rho_S$

式中： $\mathbf{n} = \mathbf{a}_z$

可得：

$$\mathbf{D} \cdot \mathbf{n} = -2.20 \mathbf{a}_z \cdot \mathbf{a}_z = \underline{-2.20 \text{ nC/m}^2}$$





5.6 半导体 SEMICONDUCTORS

本征半导体（如纯净的锗或硅）的载流子是电子和空穴。空穴为电子迁移留下的空位，带正电荷，也可以由一个原子迁移到邻近的另一个原子。

半导体的电导率是电子密度、空穴密度和漂移率的函数：

$$\sigma = -\rho_e \mu_e + \rho_h \mu_h$$

本征半导体的电导率随温度升高而增加，而金属导体的电导率随温度升高而减小

通过掺杂可使电导率急剧增加（掺杂浓度 10^{-7} ，电导率增加 10^5 倍）：

- N型半导体：施主材料提供额外的电子
- P型半导体：受主材料提额外的空穴
- PN结，PNP三极管，NPN三极管

绝缘体： 10^{-17} S/m；半导体：1 S/m；导体： 10^8 S/m



5.7 电介质材料的性质 THE NATURE OF DIELECTRIC MATERIALS

电偶极子与偶极矩

在电介质中，电荷被束缚在很小的空间中，在理想的状况下不会产生自由电荷的移动，因而不会产生电流。然而，原子与分子可能具有极性（可分为带正电荷的部分和带负电荷的部分），或是在电场的作用下出现极性。

考虑一种带极性的原子或分子，具有电偶极矩 \mathbf{p} ：

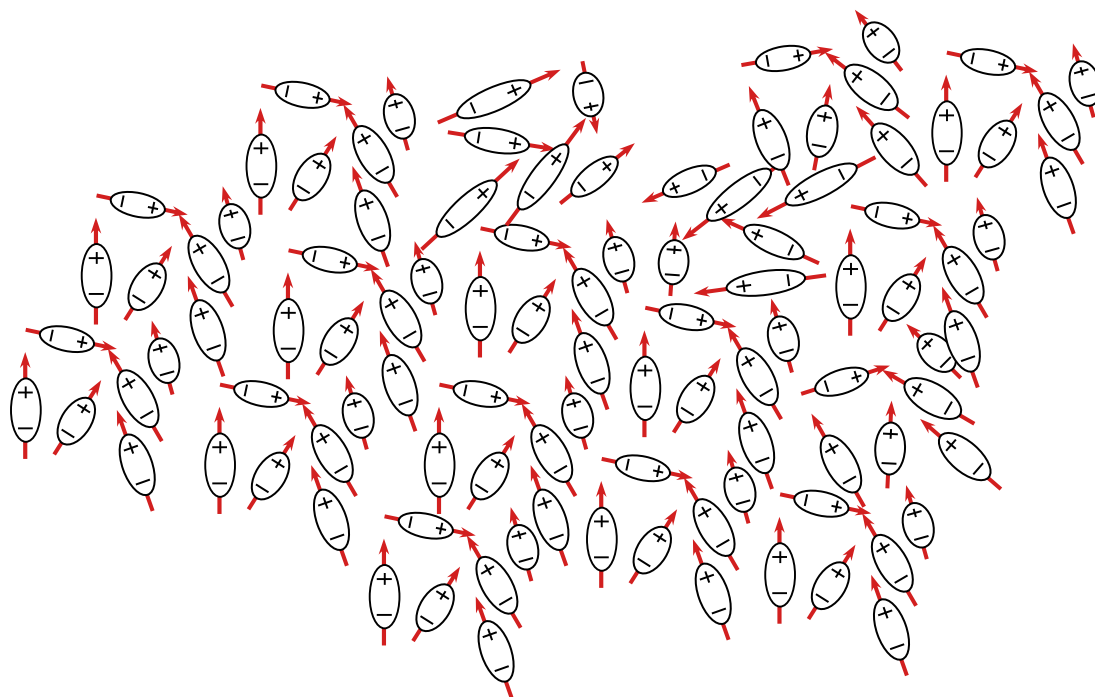
$$d \left\{ \begin{array}{c} + \\ - \end{array} \right\} Q \quad \mathbf{p} = Qd \mathbf{a}_x$$

式中 Q 是构成电偶极子的两个束缚电荷中的正电荷电量， d 为从负电荷指向正电荷的矢量。



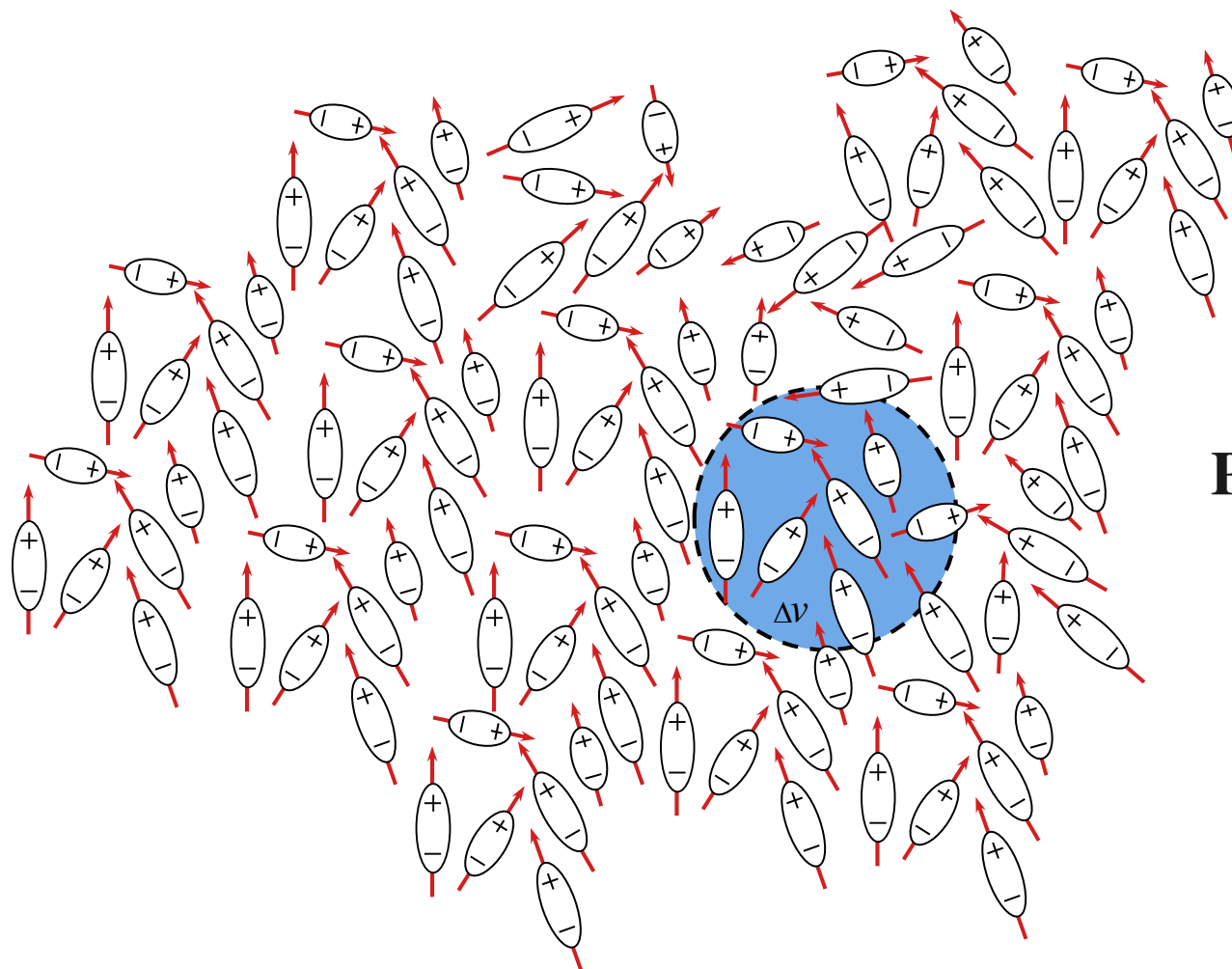
5.7 电介质材料的性质 – 电介质模型

电介质可以认为是在自由空间中存在的大量束缚电荷，这些电荷所在的原子和分子组成了电介质材料。某些分子其正负电荷作用重心之间有一个永久的位移，这些分子称为极性分子。而相对的，无极性分子在施加外部电场后才会出现电偶极子。在一些电介质材料中，偶极矩的方向是随机的。





5.7 电介质材料的性质 - 电极化强度（无外电场）



若单位体积中的电偶极子的数量为 n

那么，该介质电极化强度 \mathbf{P} 为：

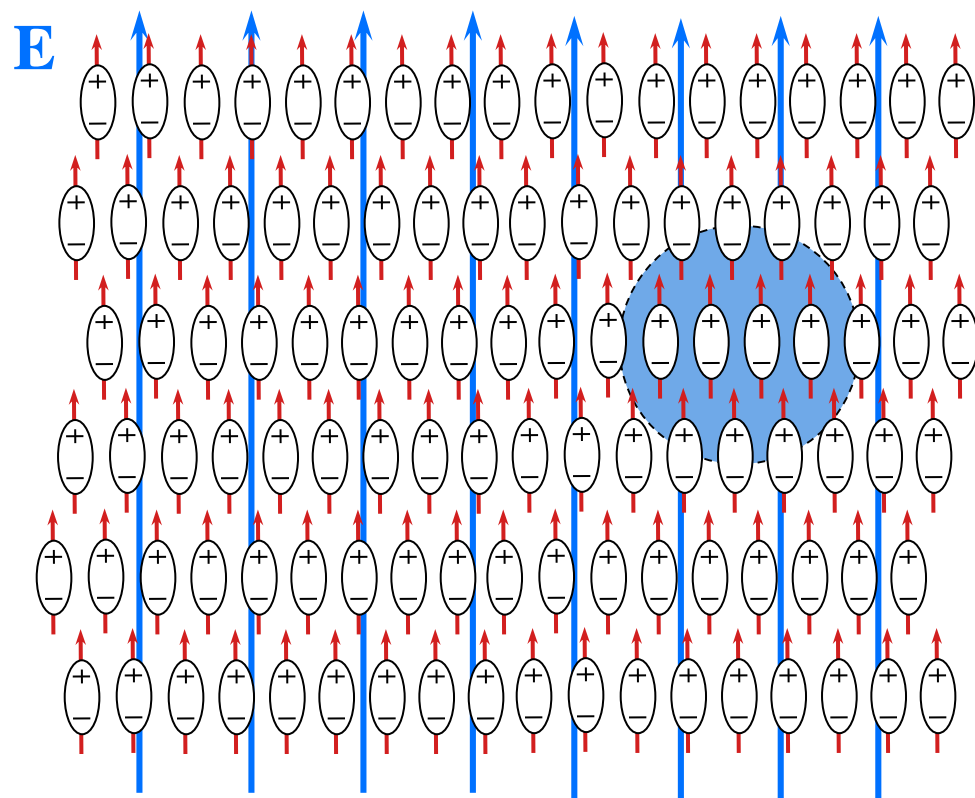
$$\mathbf{P} = \lim_{\Delta v \rightarrow 0} \frac{1}{\Delta v} \sum_{i=1}^n \mathbf{p}_i$$

单位：[C/m²]



5.7 电介质材料的性质 - 电极化强度（有外电场）

引入电场可能会增加每个偶极的电荷分离，并可能使偶极子重新定向，从而出现一些聚合排列。这种影响很小，而下图中所示是被夸大了的效果。



引入电场使得 \mathbf{P} 增大：

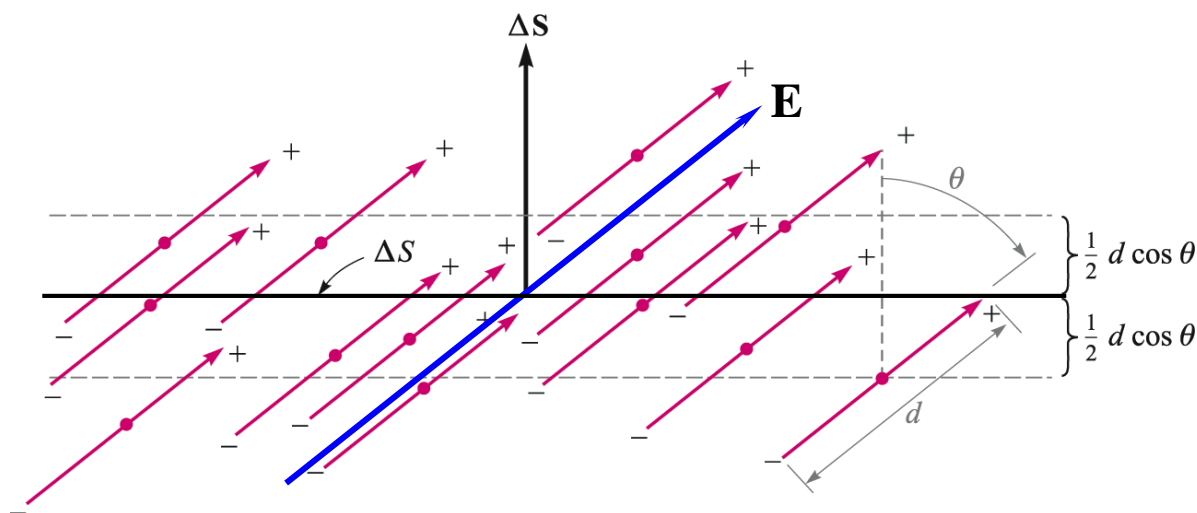
$$\mathbf{P} = \lim_{\Delta v \rightarrow 0} \frac{1}{\Delta v} \sum_{i=1}^{n \Delta v} \mathbf{p}_i$$
$$= n\mathbf{p} \quad \text{若所有偶极子同方向}$$



5.7 电介质材料的性质 – 束缚电荷的迁移

引入一个与表面法线成角度 θ 的电场，从而产生束缚电荷的分离（或重定向），使得正束缚电荷向上穿过面积为 ΔS 的表面，而负束缚电荷向下穿过该表面。

位于表面上方或下方 $(1/2) d \cos\theta$ 范围内的偶极子中心（红点）将跨越表面迁移电荷。

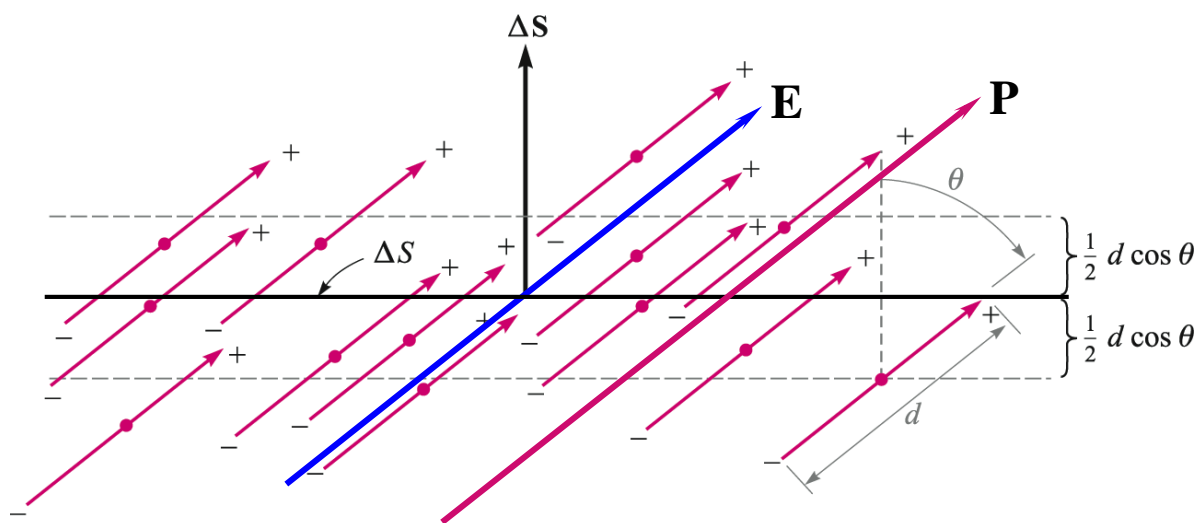




5.7 电介质材料的性质 — 束缚电荷的运动产生的电极化通量

穿过 ΔS 表面的总束缚电荷由以下公式给出：

$$\Delta Q_b = n Q \underbrace{d \cos \theta \Delta S}_{\text{体积}} = n Q \mathbf{d} \cdot \Delta \mathbf{S} = \mathbf{P} \cdot \Delta \mathbf{S}$$





5.7 电介质材料的性质 - 穿过闭合面的电极化通量

若在一个封闭的表面内积累正的束缚电荷，意味着极化矢量必须指向内侧。因此：

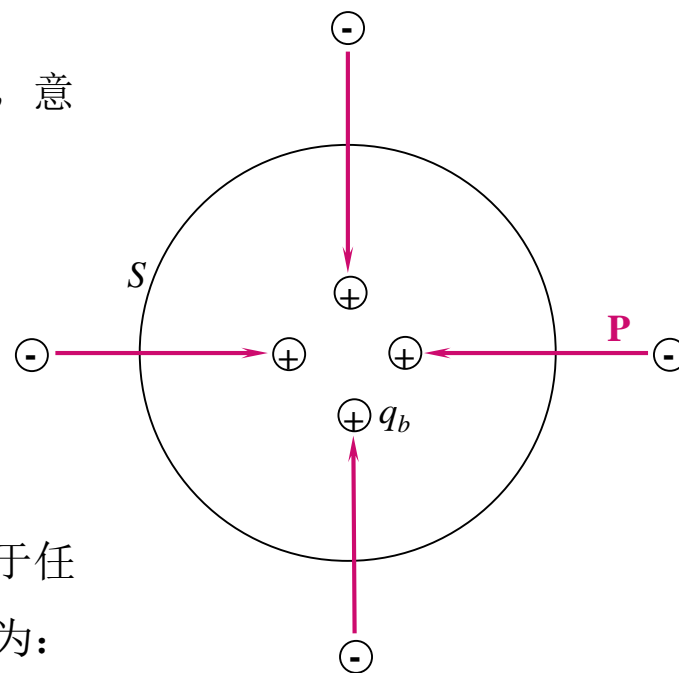
$$Q_b = - \oint_S \mathbf{P} \cdot d\mathbf{S}$$

注： Q_b 中的b表示bound，束缚电荷

将电通量密度的定义作推广，使其也适用于任意介质。依据高斯定律，闭合面内总电荷为：

$$Q_T = \oint_S \epsilon_0 \mathbf{E} \cdot d\mathbf{S}$$

注： Q_T 中的T表示Total，总电荷





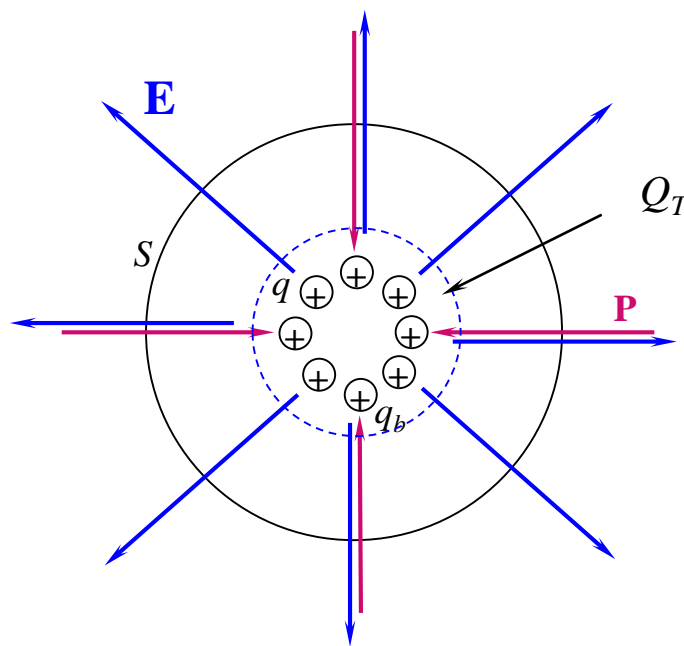
5.7 电介质材料的性质 – 自由电荷与束缚电荷

现在考虑封闭面内的电荷，包括束缚电荷 q_b 和自由电荷 q ，总电荷量是所有束缚电荷和自由电荷的总和。我们用总电荷 Q_T 来写高斯定律，即：

$$Q_T = \oint_S \epsilon_0 \mathbf{E} \cdot d\mathbf{S}$$

式中

$$Q_T = \underset{\substack{\uparrow \\ \text{束缚电荷}}}{Q_b} + \underset{\substack{\downarrow \\ \text{自由电荷}}}{Q}$$





5.7 电介质材料的性质 – 自由电荷的高斯定律

现已有：

$$Q_b = - \oint_S \mathbf{P} \cdot d\mathbf{S} \quad \text{与} \quad Q_T = \oint_S \epsilon_0 \mathbf{E} \cdot d\mathbf{S}$$

式中： $Q_T = Q_b + Q$

两式结合可得：

$$Q = Q_T - Q_b = \oint_S (\epsilon_0 \mathbf{E} + \mathbf{P}) \cdot d\mathbf{S}$$

从而得到具有更普遍意义的电通量密度：

$$\mathbf{D} = \epsilon_0 \mathbf{E} + \mathbf{P}$$

新的电通量密度 \mathbf{D} 可用高斯定律计算自由电荷量：

$$Q = \oint_S \mathbf{D} \cdot d\mathbf{S}$$



5.7 电介质材料的性质 – 电荷密度

利用前面的结果和散度定理，可以列出点形式的表达式：

$$\text{束缚电荷: } Q_b = \int_v \rho_b dv = - \oint_S \mathbf{P} \cdot d\mathbf{S} \longrightarrow \boxed{\nabla \cdot \mathbf{P} = -\rho_b}$$

$$\text{总电荷: } Q_T = \int_v \rho_T dv = \oint_S \epsilon_0 \mathbf{E} \cdot d\mathbf{S} \longrightarrow \boxed{\nabla \cdot \epsilon_0 \mathbf{E} = \rho_T}$$

$$\text{自由电荷: } Q = \int_v \rho_v dv = \oint_S \mathbf{D} \cdot d\mathbf{S} \longrightarrow \boxed{\nabla \cdot \mathbf{D} = \rho_v}$$



5.7 电介质材料的性质 – 电极化率与介电常数

较强的电场会导致介质中的极化增大。在一个线性介质中， \mathbf{P} 和 \mathbf{E} 之间的关系是线性的，由以下公式给出：

$$\mathbf{P} = \epsilon_0 \chi_e \mathbf{E}$$

式中 χ_e 为材料的电极化率

用 χ_e 重新定义 \mathbf{D} ：
$$\mathbf{D} = \epsilon_0 \mathbf{E} + \chi_e \epsilon_0 \mathbf{E} = (\chi_e + 1) \epsilon_0 \mathbf{E}$$

上式括号内的表达式定义为相对介电常数：

$$\epsilon_r = \chi_e + 1$$

因此，电介质的整体介电常数为：

$$\epsilon = \epsilon_r \epsilon_0$$

从而有：

$$\mathbf{D} = \epsilon \mathbf{E}$$



5.7 电介质材料的性质 – 各向同性、各向异性材料

在各向同性的介质中，介电常数是不随着外加电场的方向而变化的。

在各向异性介质（通常是晶体）中则不是这样。在这种介质中，介电常数会随着电场在某些方向的旋转而变化。在这种情况下，电通量密度矢量分量必须通过介电张量（矩阵）来单独评估。这种关系可以用以下形式表示。

$$D_x = \epsilon_{xx} E_x + \epsilon_{xy} E_y + \epsilon_{xz} E_z$$

$$D_y = \epsilon_{yx} E_x + \epsilon_{yy} E_y + \epsilon_{yz} E_z$$

$$D_z = \epsilon_{zx} E_x + \epsilon_{zy} E_y + \epsilon_{zz} E_z$$



例5.4 一块聚四氟乙烯平板的厚度为 $0 \leq x \leq a$ ，假定 $x < 0$ 和 $x > a$ 两个区域均为自由空间。在聚四氟乙烯平板的外部空间中，有一均匀电场 $\mathbf{E}_{\text{out}} = E_0 \mathbf{a}_x$ V/m。计算任意点的 \mathbf{D} 、 \mathbf{E} 和 \mathbf{P} 。

解：聚四氟乙烯介电常数为2.1，所以它的电极化率为1.1

在板外空间有 $\mathbf{D}_{\text{out}} = \epsilon_0 E_0 \mathbf{a}_x$ 。由于板外空间没有电介质，因此 $\mathbf{P}_{\text{out}} = 0$

对于板内空间有：

$$\mathbf{D}_{\text{in}} = 2.1\epsilon_0 \mathbf{E}_{\text{in}} \quad (0 \leq x \leq a)$$

$$\mathbf{P}_{\text{in}} = 1.1\epsilon_0 \mathbf{E}_{\text{in}} \quad (0 \leq x \leq a)$$

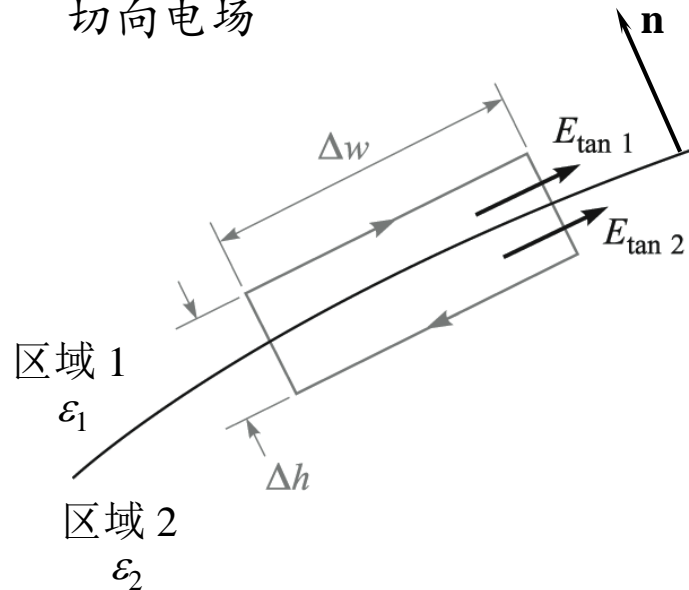
板内空间的电场 \mathbf{E}_{in} 在下一节例题5.5中计算



5.8 理想电介质的边界条件

BOUNDARY CONDITIONS FOR PERFECT DIELECTRIC MATERIALS

切向电场



$$\frac{D_{\tan 1}}{\epsilon_1} = E_{\tan 1} = E_{\tan 2} = \frac{D_{\tan 2}}{\epsilon_2}$$

$$\frac{D_{\tan 1}}{D_{\tan 2}} = \frac{\epsilon_1}{\epsilon_2}$$

根据电场 \mathbf{E} 的保守性有：

$$\oint \mathbf{E} \cdot d\mathbf{L} = 0$$

因此：

$$E_{\tan 1} \Delta w - E_{\tan 2} \Delta w = 0$$

可得到：

$$E_{\tan 1} = E_{\tan 2}$$

更一般地可表示为：

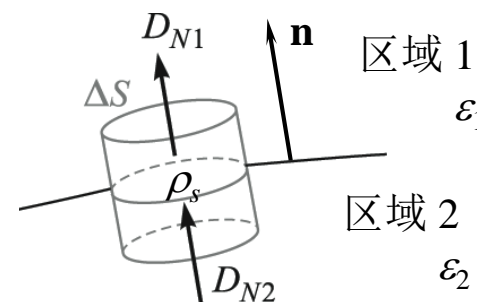
$$(\mathbf{E}_1 - \mathbf{E}_2) \times \mathbf{n} = 0$$



5.8 理想电介质的边界条件 – 法向电通量

将高斯定律应用于此处所示的圆柱体，其中圆柱体的高度被允许接近零，并且表面上有电荷密度 ρ_s 。

$$Q = \oint_S \mathbf{D} \cdot d\mathbf{S}$$



电通量分别只通过底面和顶面进入和流出：

$$D_{N1} \Delta S - D_{N2} \Delta S = \Delta Q = \rho_s \Delta S$$

得到：

$$D_{N1} - D_{N2} = \rho_s$$

更一般的形式为：

$$(\mathbf{D}_1 - \mathbf{D}_2) \cdot \mathbf{n} = \rho_s$$

若电荷密度为0，则：

$$D_{N1} = D_{N2}$$



5.8 理想电介质的边界条件

我们希望找到角度 θ_1 和 θ_2 之间的关系，假设表面上没有电荷密度。

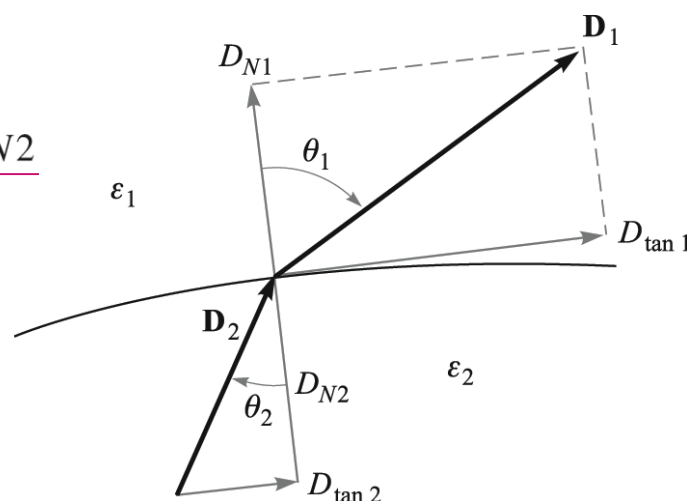
\mathbf{D} 的法线分量在边界上将是连续的，因此：

$$\underline{D_{N1} = D_1 \cos \theta_1 = D_2 \cos \theta_2 = D_{N2}}$$

由于 \mathbf{E} 切线方向分量在边界上是连续的，因此：

$$\frac{D_{\tan 1}}{D_{\tan 2}} = \frac{D_1 \sin \theta_1}{D_2 \sin \theta_2} = \frac{\epsilon_1}{\epsilon_2}$$

得到： $\epsilon_2 D_1 \sin \theta_1 = \epsilon_1 D_2 \sin \theta_2$



取两个划线方程的比率，最终得到。

$$\frac{\tan \theta_1}{\tan \theta_2} = \frac{\epsilon_1}{\epsilon_2}$$



例5.5 继续上节中**例5.4**的计算，已知自由空间中均匀电场 $\mathbf{E}_{\text{out}} = E_0 \mathbf{a}_x$ ，求聚四氟乙烯（ $\epsilon_r = 2.1$ ）平板中的电场 \mathbf{E} 。

解：在聚四氟乙烯板内部，由分界面的 D_N 的连续性，可得：

$$\mathbf{D}_{\text{in}} = \mathbf{D}_{\text{out}} = \epsilon_0 E_0 \mathbf{a}_x$$

$$\text{因此： } \mathbf{E}_{\text{in}} = \mathbf{D}_{\text{in}} / \epsilon = \epsilon_0 E_0 \mathbf{a}_x / (\epsilon_r \epsilon_0) = 0.476 E_0 \mathbf{a}_x$$

利用： $\mathbf{D} = \epsilon_0 \mathbf{E} + \mathbf{P}$ 可得到板内极化场：

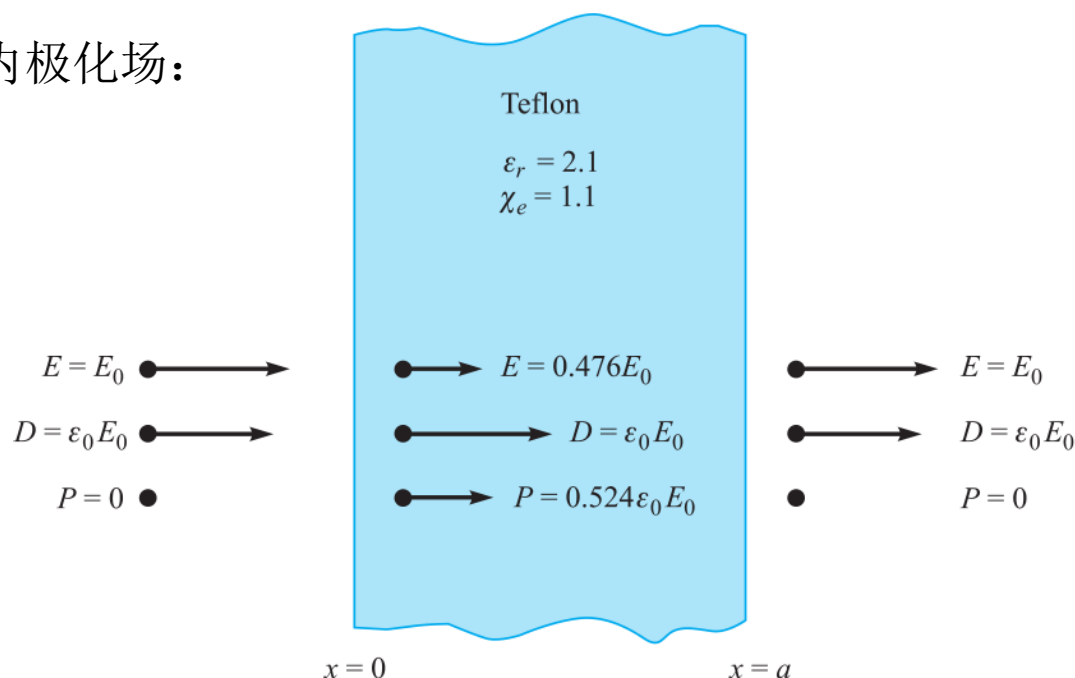
$$\begin{aligned} \mathbf{P}_{\text{in}} &= \mathbf{D}_{\text{in}} - \epsilon_0 \mathbf{E}_{\text{in}} \\ &= \epsilon_0 E_0 \mathbf{a}_x - 0.476 \epsilon_0 E_0 \mathbf{a}_x \\ &= 0.524 \epsilon_0 E_0 \mathbf{a}_x \end{aligned}$$

汇总得：

$$\mathbf{D}_{\text{in}} = \epsilon_0 E_0 \mathbf{a}_x \quad (0 \leq x \leq a)$$

$$\mathbf{E}_{\text{in}} = 0.476 E_0 \mathbf{a}_x \quad (0 \leq x \leq a)$$

$$\mathbf{P}_{\text{in}} = 0.524 \epsilon_0 E_0 \mathbf{a}_x \quad (0 \leq x \leq a)$$





习题 5.5 - 5.8

5.20, 5.24, 5.28, 5.34

课后习题： 5.3, 5.12, 5.16, 5.28,
5.32